

# Ionizační manometry

Princip: ionizace molekul a měření počtu nabitych částic

Rozdělení podle způsobu ionizace:

- Manometry se žhavenou katodou
- Manometry se studenou katodou
- Manometry s radioaktivním zářičem

Při ionizaci plynu o koncentraci  $n$  nejsou ionizovány všechny molekuly, ale jenom část z nich  $n_i = \gamma n$ ;  $\gamma < 1$ .

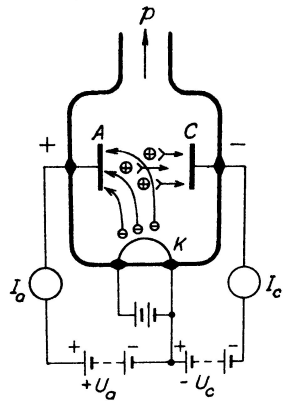
## Podmínky činnosti:

- je nutné pracovat při stejné teplotě, při které byl manometr cejchován.
- koeficient  $\gamma$  musí být konstantní v celém oboru měřených tlaků
- měřený iontový proud musí být tvořen pouze ionty molekul plynu - vyloučit parazitní proudy
- měřit všechny vzniklé ionty

## Nevýhody:

- čerpací efekt - sorpce plynů vlivem elektrického náboje
- desorpce plynů z elektrod vlivem velké teploty

# Ionizační manometr se žhavenou katodou



J. Groszkowski: Technika vysokého vakua, SNTL, Praha 1981

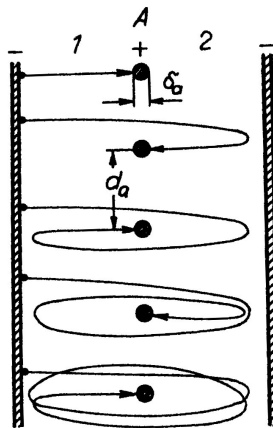
Katoda vytváří elektronový proud  $I_e$ , který ionizuje plyn. Kolektor sbírá kladné ionty.  $I_p$  - proud kladných iontů na kolektor,  $I_e$  - emisní elektronový proud na anodu,  $p$  - tlak plynu

$$I_p = K_0 I_e p \Rightarrow p = \frac{1}{K_0} \frac{I_p}{I_e}$$

$K_0 [\text{Pa}^{-1}]$  citlivost manometru, liší se pro ruzné plyny, protože se plyny liší koeficientem specifické ionizace -  $\epsilon$

$\epsilon$  - množství iontů vytvořených jedním elektronem na dráze 1cm v daném plynu při tlaku 133 Pa a teplotě 273 K. Závisí na energii elektronů - tedy na urychlovacím napětí.

|                      | He  | Ne  | H <sub>2</sub> | N <sub>2</sub> | CO  | O <sub>2</sub> | Ar | Hg |
|----------------------|-----|-----|----------------|----------------|-----|----------------|----|----|
| $\epsilon_{max}$     | 1,2 | 3   | 3,7            | 10             | 11  | 12             | 13 | 19 |
| $U_{max} [\text{V}]$ | 110 | 170 | 65             | 95             | 100 | 120            | 90 | 85 |



Kmity elektronů při použití mřížkové anody. J. Groszkowski: Technika vysokého vakua, SNTL, Praha 1981

Dopad iontů na kolektor závisí na

- potenciálu kolektoru
- na tvaru kolektoru
- na poloze kolektoru vzhledem k prostoru, kde dochází k ionizaci

Pravděpodobnost ohybu dráhy iontů se zvyšuje s rostoucí počáteční rychlostí iontů a se zmenšováním průměru kolektoru. Pokud nejsou v obvodu kolektoru žádné další proudy je iontový kolektorový proud mírou tlaku.

$$I_c = I_p = K_0 I_{ep}$$

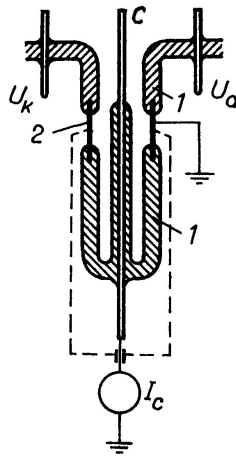
Ve skutečnosti se mohou v obvodu kolektoru projevit parazitní proudy.

$$I_c = I_p + \sum_i I_i = K_0 I_{ep} + \sum_i I_i$$

Parazitní proudy omezují možnost měření nízkých tlaků.

# Parazitní proudy

- **Proud vyvolané rentgenovým a ultrafialovým zářením** - Anoda se vlivem dopadu elektronů s velkou energií stává zdrojem měkkého rentgenového záření. V důsledku elektromagnetického ozáření povrchu kolektoru vzniká fotoemise z kolektoru. Je nutné pracovat s nízkou teplotou katody. Parazitní proud  $I_1 \sim A_c I_e \frac{1}{D_{AC}}$ ,  $A_c$  - plocha kolektoru,  $I_e$  - anodový proud,  $D_{AC}$  - vzdálenost anoda-kolektor.
- **Proud vyvolané elektronovou desorpcí** - při bombardování povrchu elektrony se mohou uvolňovat neutrální atomy a molekuly, ionizované atomy a molekuly, disociovány molekuly.
- **Iontový proud ze žhavené katody** - katoda může emitovat i ionty, používat nízkou teplotu katody, projevuje se pouze při velmi nízkých tlacích.
- **Svodové proudy** - nedokonalá izolace kolektoru od ostatních elektrod.



Odstranění svodových proudů. J. Groszkowski: Technika vysokého vakua, SNTL, Praha 1981

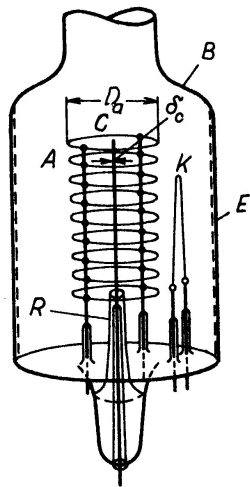
Při činnosti ionizačního manometru dochází k zachycování iontů kolektorem a tím k čerpacímu efektu.

### Konstrukce manometru

- s vnějším kolektorem - kolektor válcový, anoda válcová mřížka, katoda uvnitř anody
- s vnitřním kolektorem Bayard-Alpert - kolektor tenký drátek uprostřed, anoda válcová mřížka, katoda vně mřížky

Uspořádání Bayard-Alpert měří do nižších tlaků ( $10^{-9}$  Pa) než uspořádání s vnějším kolektorem. Spodní hranice měřitelného tlaku je dána zejména parazitním foto-proudem.

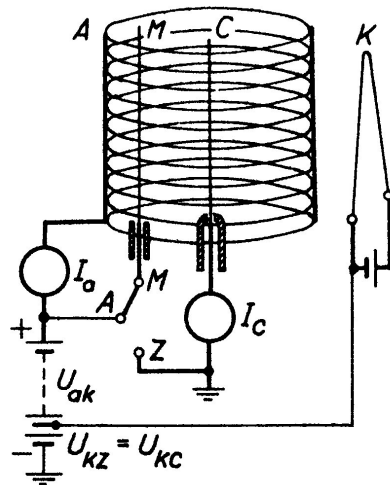
Maximální měřitelný tlak  $10^0$  Pa.



J. Groszkowski: Technika vysokého vakua, SNTL, Praha 1981

# Ionizační manometry se žhavenou katodou

- Ionizační manometry mění složení i tlak měřeného plynu.
- chyba měření  $\sim 15\%$ .
- speciální modifikace vnořený manometr.
- řada konstrukčních modifikací



Modifikace Bayard-Alpert-Redhead, pro měření nízkých tlaků  
 J. Groszkowski: Technika vysokého vakua, SNTL, Praha 1981

Měření probíhá ve dvou krocích

- nejdříve spojíme modulátor s anodou ( $M \rightarrow A$ )
- pak ho spojíme s kolektorem ( $M \rightarrow Z$ ), část iontů proudí na modulátor

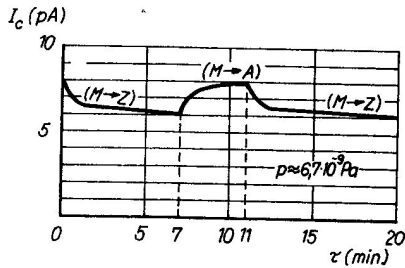
$$M \rightarrow A ; I'_c = S'p + I'_x$$

$$M \rightarrow Z ; I''_c = S''p + I''_x$$

$$S'' < S' \Rightarrow I'_c - I''_c = (S' - S'')p + (I'_x - I''_x)$$

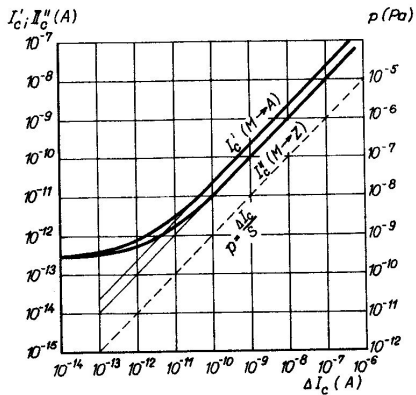
$$I'_x = I''_x \Rightarrow p = \frac{I'_c - I''_c}{S' - S''}$$

můžeme měřit tlaky  $\sim 10^{-10}$  Pa (tenze par W při  $T=2000$  K  
 $P_p \sim 10^{-10}$  Pa)

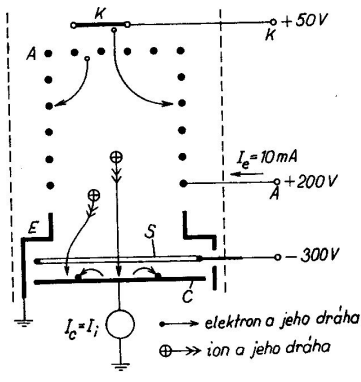


Obr. 5.49. Změny kolektorového proudu  $I_c$  při modulaci v Bayardově–Alpertově–Redheadově vakuometru. Zpomalené ustalování proudu  $I_c$  je způsobeno mezi jiným sorpčními a desorpčními procesy na modulátoru

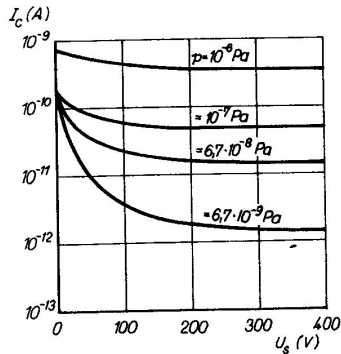
J. Groszkowski: Technika vysokého vakua, SNTL, Praha 1981



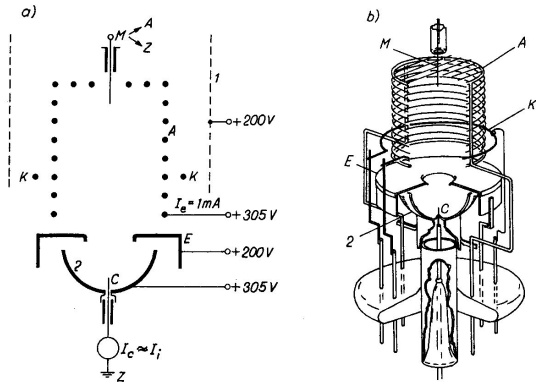
Obr. 5.48. Charakteristiky modulátorového vakuometru. Kolektorový proud:  $I'_c$  – při spojení modulátoru  $M$  s anodou ( $M \rightarrow A$ );  $I''_c$  – při spojení modulátoru se zemí ( $M \rightarrow Z$ ); závislost tlaku na rozdílovém modulačním proudu  $\Delta I_c$  je vyznačena čárkovaně



Obr. 5.51. Schuemannův vakuometr s potenciálovou bariérou  
 $A$  — mřížková anoda;  $K$  — katoda;  
 $C$  — kolektor;  $E$  — stínění;  $S$  — prstencová elektroda (supresor)

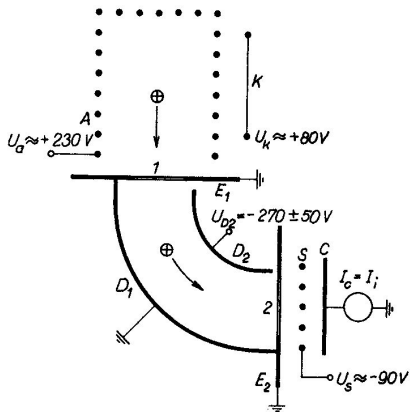


Obr. 5.52. Závislost kolektorového proudu  $I_c$  na potenciálu (záporném) supresoru  $U_s$  a tlaku  $p$



Obr. 5.53. Redheadův extraktorový vakuometr: a) schéma, b) konstrukční provedení. Stínění a baňka jsou na potenciálu katody (200 V), reflektor iontů je spojen s anodou (305 V)

*A* – mřížková anoda jedné strany otevřená; *E* – stínění; *K* – prstencová katoda (thoriovaný wolfram); *C* – kolektor; *M* – modulátor; *I* – baňka s pokoveným vnitřním povrchem; *2* – reflektor iontů



Obr. 5.56. Helmerův–Haywardův vakuometr se zakřiveným svazkem iontů

$A$  – anoda;  $K$  – katoda;  
 $E_1, E_2$  – clony;  $D_1, D_2$  – elektrody deflektoru;  $C$  – kolektor;  
 $S$  – supresorová mřížka;  
 $1, 2$  – otvory v clonách

J. Groszkowski: Technika vysokého vakua, SNTL, Praha 1981

# Ionizační manometr se studenou katodou (Výbojový manometr)

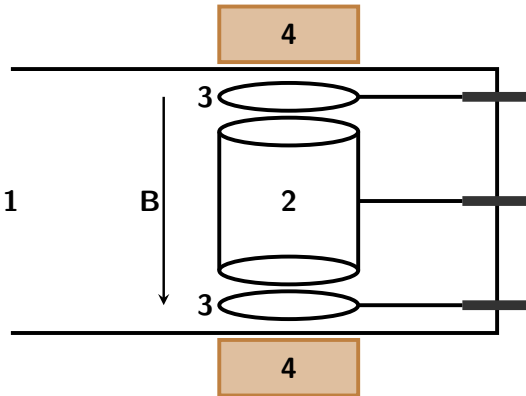
Princip: samostatný výboj

Výbojové manometry s magnetickým polem

Existují dvě základní konstrukce:

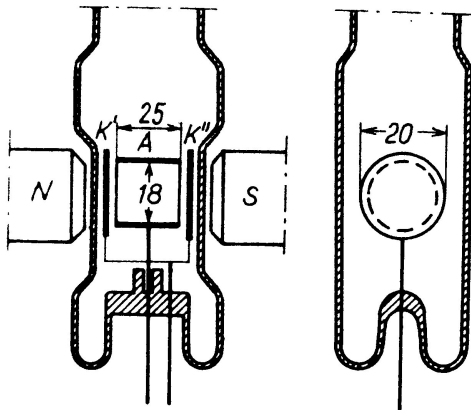
- 1936 – Penningův manometr
- 1958 – Inverzní magnetron

# Penningův manometr

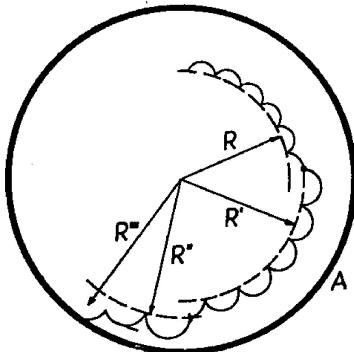


1 – připojení měřeného tlaku, 2 – válcová anoda, 3 – katoda,  
4 – permanentní magnet

a)

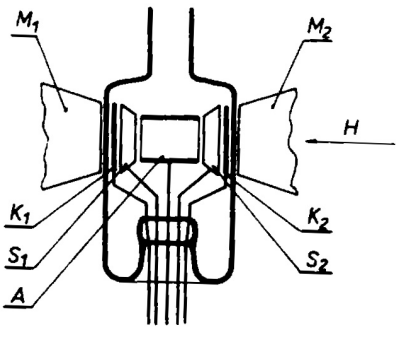


Výbojový manometr - Penning J. Groszkowski: Technika vysokého vakua, SNTL,  
Praha 1981

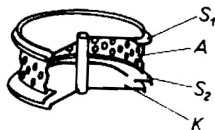


Obr. 7-26. Dráhy elektronu ve výbojovém manometru s magnetickým polem.

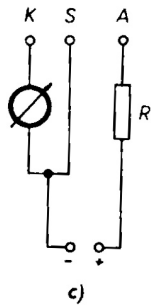
L. Pátý: Fyzika nízkých tlaků, Academia, Praha 1968



a)

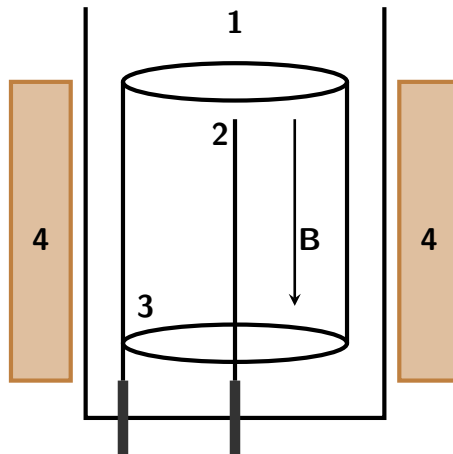


b)

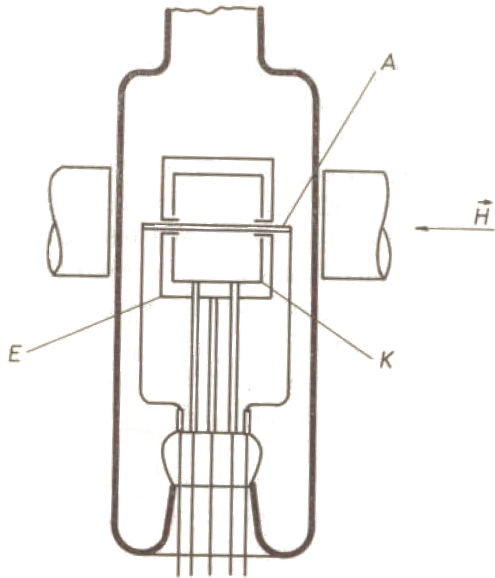


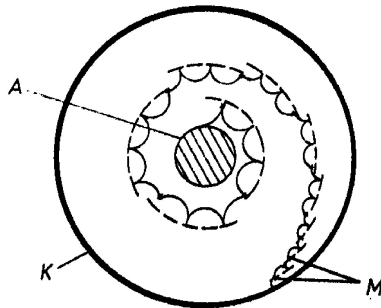
L. Pátý: Fyzika nízkých tlaků, Academia, Praha 1968

# Inverzní magnetron



1 – připojení měřeného tlaku, 2 – anoda, 3 – válcová katoda,  
4 – permanentní magnet

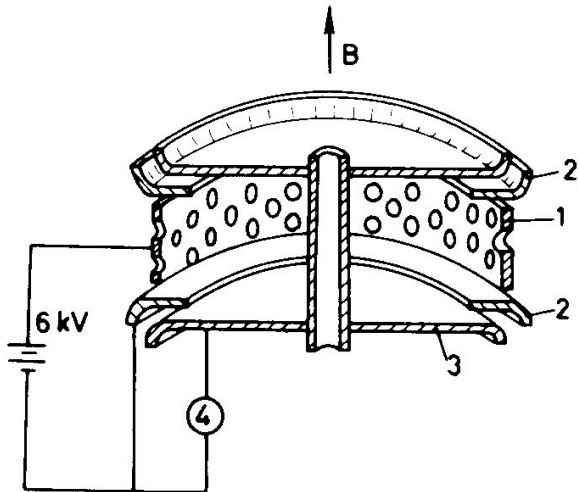




Obr. 7-30. Dráhy elektronu v inverzním  
výbojovém manometru

**A** — anoda  
**K** — katoda  
**M** — místa srážky.

L. Pátý: Fyzika nízkých tlaků, Academia, Praha 1968



A. Roth: Vacuum technology, Elsevier, 1990

# Parametry manometrů

Proud procházející výbojem je mírou tlaku  $I = f(p)$ .

$$I \sim N_e L_i d_0^2 p e^{-\frac{U_i d_0}{kT}}$$

- $N_e$  - počet elektronů emitovaných katodou za 1 s
- $L_i$  - dráha na které dochází k ionizaci
- $d_0$  - efektivní průměr molekuly plynu
- $U_i$  - ionizační potenciál plynu
- $E$  - intenzita elektrického pole mezi K–A
- $p$  - tlak plynu

výbojový proud můžeme approximovat:

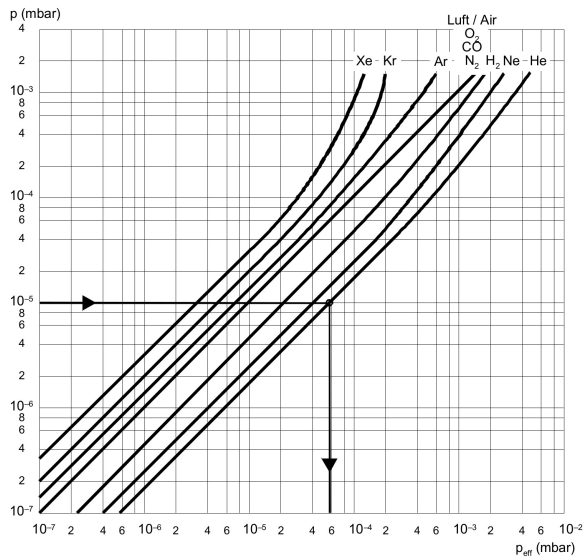
$$I = K_1 p^u$$

pro většinu plynu v oboru tlaků  $10^{-2}$  až  $10^{-7}$  Pa platí  $1,10 \leq u \leq 1,15$

Manometry se studenou katodou jsou závislé na druhu plynu.  
Například pro měrku IKR 050 (Pfeiffer) platí pro tlaky  $< 10^{-3}$  Pa

$$p_{\text{eff}} = C \times p_r$$

| plyn                                       | C   |
|--|-----|
| vzduch ( $\text{N}_2$ , $\text{O}_2$ , CO) | 1,0 |
| Xe   | 0,4 |
| Kr   | 0,5 |
| Ar   | 0,8 |
| $\text{H}_2$                               | 2,4 |
| Ne   | 4,1 |
| He   | 5,9 |



# Parametry

- velikost magnetického pole  $0,02 - 0,1$  T
- velikost napětí  $2 - 6$  kV
- výbojového proudu  $< 2$  mA
- rozsah měřených tlaků  $10^{-1} - 10^{-7}$  Pa ( $10^{-9}$  Pa)
- typická chyba měření  $15 - 30$  %
- **Penningův manometr** - Anoda ve tvaru válce, dvě ploché katody, magnetické pole kolmé ke katodě
- **Inverzní magnetron** - Katoda ve tvaru válce, tyčová anoda, magnetické pole rovnoběžné s anodou

# Parametry ukázk

## VC2T - TESLA Rožnov

- rozsah měření:  $1 \times 10^{-1} - 1 \times 10^{-4}$  Pa
- napětí  $\sim 2$  kV
- mag. pole:  $\sim 0,04$  T

## IKR 020 - Balzers

- rozsah měření:  $5 \times 10^{-1} - 1 \times 10^{-7}$  Pa
- napětí  $\sim 3$  kV
- mag. pole:  $\sim 0,1$  T

# Provoz a použití

- aktivní, nebo pasivní provedení
- libovolná orientace
- magnetické pole
- rozprašování elektrod
- čištění manometrů
- teplota odplynění 150 – 250 °C

# Výhody a nevýhody

## Výhody

- robustní konstrukce
- jednoduchý měřící obvod
- rozsah měřených tlaků
- vydrží prudké zavzdoušnění

## Nevýhody

- čerpací efekt
- závislost na druhu plynu
- chyba měření
- špatně startuje při nízkých tlacích ( $10^{-7}$  Pa  $\sim$  5 minut)

# Ionizační manometr s radioaktivním zářičem (Alfatron)

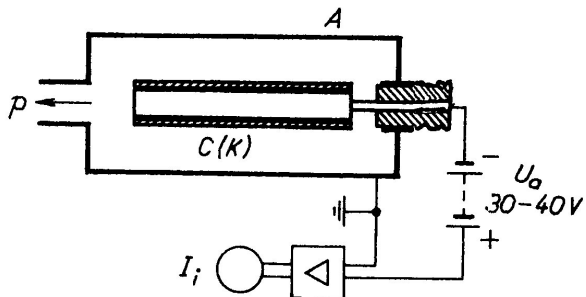
Ionizace se uskutečňuje pomocí  $\alpha$  - zářiče, zářič s velkým poločasem rozpadu (radium, 1600 let) Iontový proud je úměrný tlaku

$$I_p = Sp$$

S - závisí na druhu plynu, nepřímá metoda

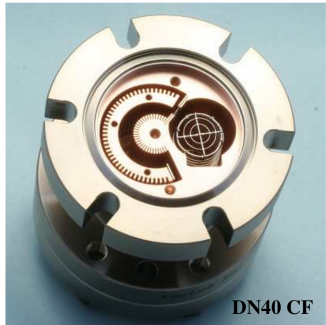
Dolní hranice měřeného tlaku  $10^{-2}$  Pa, (fotoproud vyvolaný  $\beta$  - rozpadem)

Horní hranice měřeného tlaku  $10^3$  Pa.

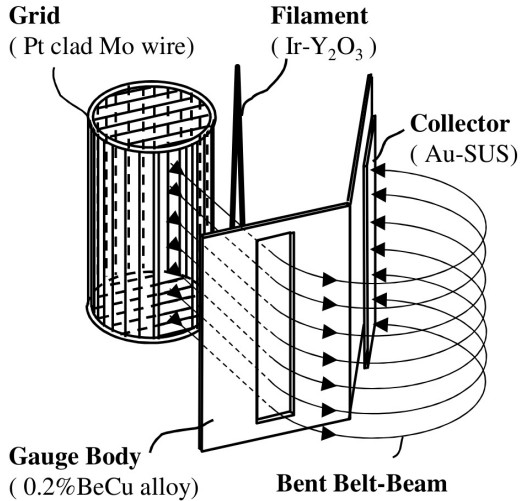


J. Groszkowski: Technika vysokého vakua, SNTL, Praha 1981

# Měrka pro XHV vakuum



Top view of the 3BG-03, without the cover on the deflector and collector. The flanged mounting surface of the deflector can be seen in the picture, with its 3 mounting holes. Within the functional volume of the gauge, the deflector is an open array of bars and slots.



# Měrka pro XHV vakuum

Bent Belt-Beam - ionizační manometr

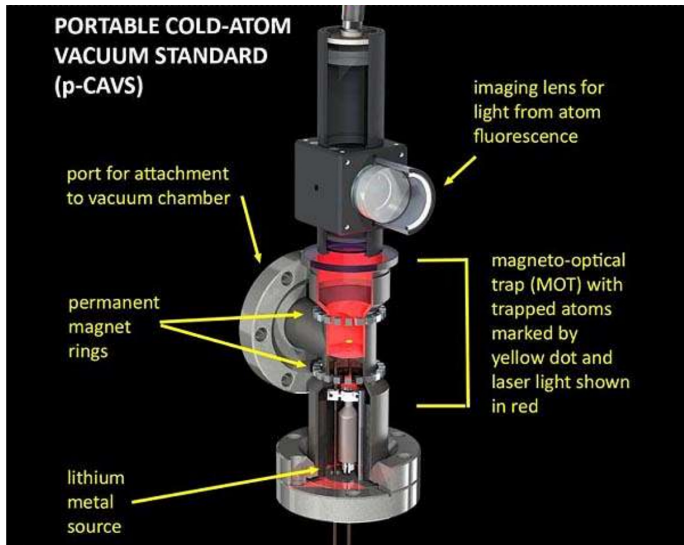
- 3BG-03
- citlivost  $5 \sim 8 \times 10^{-2} \text{ Pa}^{-1}$
- min. tlak  $5 \times 10^{-12} \text{ Pa}$

pro porovnaní ionizační manometr z vak. praktika

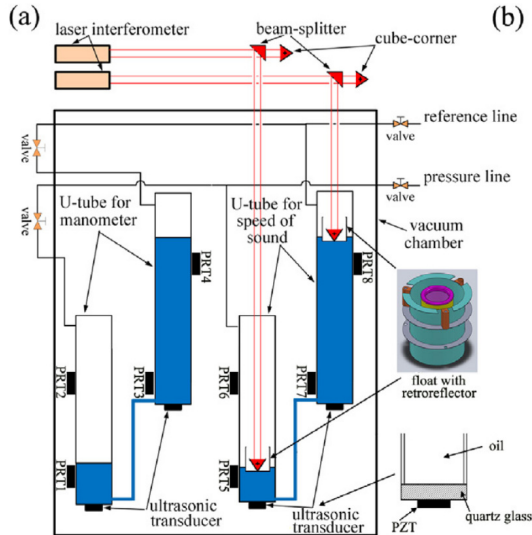
PBR 260 - Pirani + ionizační se žhavenou katodou

- rozsah měření  $5 \times 10^{-10} - 1000 \text{ hPa}$

# MOT



# U-trubice



| Manometr                      | metoda    | min [Pa]  | max [Pa] |
|-------------------------------|-----------|-----------|----------|
| kapalinové U-trubice          | absolutní | $10^{-1}$ | $10^5$   |
| McLeodův                      | absolutní | $10^{-4}$ | $10^2$   |
| mechanické                    | absolutní | $10^2$    | $10^5$   |
| kapacitní                     | absolutní | $10^{-3}$ | $10^5$   |
| piezo                         | absolutní | $10^1$    | $10^5$   |
| viskózní s kuličkou           | nepřímá   | $10^{-5}$ | $10^1$   |
| Pirani                        | nepřímá   | $10^{-2}$ | $10^5$   |
| ionizační se žhavenou katodou | nepřímá   | $10^{-9}$ | $10^0$   |
| ionizační se studenou katodou | nepřímá   | $10^{-7}$ | $10^0$   |